

УДК 539.3

## **Нестационарное движение нормальной сосредоточенной нагрузки вдоль границы упругой полуплоскости**

**Оконечников А.С.\*, Гарлаковский Д.В.\*\*, Федотенков Г.В.\*\*\***

*Московский авиационный институт (национальный исследовательский университет), МАИ, Волоколамское шоссе, 4, Москва, А-80, ГСП-3, 125993, Россия*

\*e-mail: [leon\\_lionheart@mail.ru](mailto:leon_lionheart@mail.ru)

\*\*e-mail: [tdvhome@mail.ru](mailto:tdvhome@mail.ru)

\*\*\*e-mail: [greghome@mail.ru](mailto:greghome@mail.ru)

### **Аннотация**

В нестационарной постановке исследуется плоская задача о воздействии сосредоточенной нагрузки, движущейся по поверхности однородного изотропного упругого полупространства. С использованием принципа суперпозиции получено решение в квадратурах. В частном случае равномерного движения проведен расчет и представлены графические результаты для нормальных перемещений поверхности полупространства. Проведен анализ особенностей решения на характерных скоростных этапах движения нагрузки: дорелеевском, дозвуковом, трансзвуковом и сверхзвуковом.

**Ключевые слова:** подвижная нагрузка, нестационарная задача, принцип суперпозиции, сингулярные интегралы, регуляризация, особенности решений.

### **Введение**

При проектировании современной аэрокосмической техники необходимо учитывать нестационарный характер локальных нагрузок, воздействующих на ее

элементы. Такие задачи возникают, например, при контакте корпусов летательных аппаратов с мелкими частицами, которые могут содержаться в окружающей атмосфере или космическом пространстве. Кроме того, в подобных задачах зачастую приходится иметь дело с нагрузками, точка приложения которых движется по поверхности конструкции по определённому закону. Также актуальной проблемой является создание высокоскоростных средств передвижения, для которых исследование указанных проблем также может найти применение. В общей постановке построение решений подобных задач является чрезвычайно сложной проблемой. В данной работе рассмотрена модельная задача о воздействии подвижной сосредоточенной нагрузки на упругое однородное изотропное полупространство. Предложен и реализован метод, позволяющий получить решение в замкнутой форме, а также выявить все возможные особенности решения на различных скоростных режимах движения.

## 1. Постановка задачи

В начальный момент времени по нормали к границе  $z=0$  невозмущенного упругого однородного изотропного полупространства прикладывается нормальная сосредоточенная нагрузка  $q = H(t)\delta[x - f(t)]$ , где функция времени  $f(t)$  описывает закон ее движения со скоростью  $V(t) = df/dt$ ,  $H(t)$  - функция Хевисайда, а  $\delta(x)$  - дельта-функция Дирака. Используется прямоугольная декартова система координат  $Oxz$ , ось  $Ox$  которой направлена вдоль свободной границы полупространства, а ось

$Oz$  - в глубь полупространства. Предполагается, что компоненты напряженно-деформированного состояния и перемещений не изменяются в направлении оси  $Oy$ .

Движение среды описывается уравнениями Ламе [1]

$$(\lambda + \mu)\text{grad div } \mathbf{u} + \mu\Delta\mathbf{u} = \rho \frac{\partial^2 \mathbf{u}}{\partial t^2}. \quad (1.1)$$

Здесь  $\mathbf{u} = (u, w)^T$  - вектор перемещений ( $u$  и  $w$  - перемещения вдоль осей  $Ox$  и  $Oz$  соответственно),  $\lambda$ ,  $\mu$  и  $\rho$  - параметры Ламе и плотность среды.

Ненулевые компоненты  $\varepsilon_{ij}$  тензора деформаций связаны с перемещениями соотношениями Коши:

$$\varepsilon_{11} = \frac{\partial u}{\partial x}, \quad \varepsilon_{13} = \frac{1}{2} \left( \frac{\partial u}{\partial z} + \frac{\partial w}{\partial x} \right), \quad \varepsilon_{33} = \frac{\partial w}{\partial z}. \quad (1.2)$$

Ненулевые компоненты  $\sigma_{ij}$  тензора напряжений определяются законом Гука:

$$\sigma_{11} = 2\mu\varepsilon_{11} + \lambda\theta, \quad \sigma_{13} = 2\mu\varepsilon_{13}, \quad \sigma_{33} = 2\mu\varepsilon_{33} + \lambda\theta, \quad \theta = \varepsilon_{11} + \varepsilon_{33}. \quad (1.3)$$

Касательные напряжения на границе полуплоскости  $z=0$  отсутствуют, перемещения предполагаются ограниченными на бесконечности, что приводит к следующим граничным условиям:

$$\begin{aligned} \sigma_{13}|_{z=0} = 0, \quad \sigma_{33}|_{z=0} = -H(t)\delta[x - f(t)], \\ u = O(1), \quad w = O(1), \quad \text{при } r \rightarrow \infty, \quad r = \sqrt{x^2 + z^2}. \end{aligned} \quad (1.4)$$

Начальные условия нулевые:

$$u|_{t=0} = w|_{t=0} = \frac{\partial u}{\partial t}|_{t=0} = \frac{\partial w}{\partial t}|_{t=0} = 0.$$

Вектор перемещений удобно представить в виде суммы потенциальной и соленоидальной составляющих:

$$\mathbf{u} = \text{grad}\varphi + \text{rot}\boldsymbol{\psi}, \quad (1.5)$$

где  $\varphi$  - скалярный, а  $\boldsymbol{\psi}$  - векторный потенциалы упругих смещений.

Подстановка (1.5) в (1.1) приводит к двум волновым уравнениям относительно скалярного  $\varphi$  и ненулевой компоненты  $\psi$  векторного потенциала упругих смещений:

$$c_1^2 \Delta \varphi = \frac{\partial^2 \varphi}{\partial t^2}, \quad c_2^2 \Delta \psi = \frac{\partial^2 \psi}{\partial t^2}, \quad \Delta = \frac{\partial^2}{\partial x^2} + \frac{\partial^2}{\partial z^2}, \quad c_1^2 = \frac{\lambda + 2\mu}{\rho}, \quad c_2^2 = \frac{\mu}{\rho}.$$

Здесь  $c_1$  и  $c_2$  скорости волн растяжения-сжатия и сдвига,  $a$  - ускорение движения нагрузки.

Будем использовать систему безразмерных величин (штрихи обозначают безразмерные параметры, которые далее опущены).

$$x' = \frac{x}{L}, \quad z' = \frac{z}{L}, \quad \tau = \frac{c_1 t}{L}, \quad u' = \frac{u}{L}, \quad w' = \frac{w}{L}, \quad \varphi' = \frac{\varphi}{L^2},$$

$$\psi' = \frac{\psi}{L^2}, \quad f' = \frac{f}{L}, \quad \eta = \frac{c_1}{c_2}, \quad V' = \frac{V}{c_1}, \quad \sigma'_{ij} = \frac{\sigma_{ij}}{\lambda + 2\mu},$$

где  $L$  - характерный линейный размер.

Постановка задачи в безразмерном виде включает в себя следующие соотношения (здесь и далее производные по безразмерному времени обозначены точками):

- уравнения движения

$$\Delta \varphi = \ddot{\varphi}, \quad \Delta \psi = \eta^2 \ddot{\psi}; \quad (1.6)$$

- вытекающую из (1.2), (1.3) и (1.6) связь компонент перемещений, напряжений и деформаций с потенциалами:

$$\begin{aligned}
u &= \frac{\partial \varphi}{\partial x} - \frac{\partial \psi}{\partial z}, \quad w = \frac{\partial \varphi}{\partial z} - \frac{\partial \psi}{\partial x}, \quad \varepsilon_{11} = \frac{\partial^2 \varphi}{\partial x^2} - \frac{\partial^2 \psi}{\partial x \partial z}, \quad \varepsilon_{33} = \frac{\partial^2 \varphi}{\partial z^2} + \frac{\partial^2 \psi}{\partial x \partial z}, \\
\varepsilon_{13} &= \frac{1}{2} \left( \frac{\partial^2 \psi}{\partial x^2} + 2 \frac{\partial^2 \varphi}{\partial x \partial z} + \frac{\partial^2 \psi}{\partial z^2} \right), \quad \sigma_{11} = \Delta \varphi - 2\eta^{-2} \left( \frac{\partial^2 \varphi}{\partial z^2} + \frac{\partial^2 \psi}{\partial x \partial z} \right), \\
\sigma_{13} = \sigma_{31} &= \eta^{-2} \left( \frac{\partial^2 \varphi}{\partial x^2} + 2 \frac{\partial^2 \varphi}{\partial x \partial z} - \frac{\partial^2 \psi}{\partial z^2} \right), \quad \sigma_{33} = \Delta \varphi - 2\eta^{-2} \left( \frac{\partial^2 \varphi}{\partial x^2} - \frac{\partial^2 \psi}{\partial x \partial z} \right);
\end{aligned} \tag{1.7}$$

- начальные условия:

$$\varphi|_{\tau=0} = \dot{\varphi}|_{\tau=0} = 0, \quad \psi|_{\tau=0} = \dot{\psi}|_{\tau=0} = 0. \tag{1.8}$$

- а также граничные условия (1.4), в которых  $t$  нужно заменить безразмерным временем  $\tau$ .

## 2.Метод решения

Используем принцип суперпозиции [2], согласно которому нормальные перемещения границы полуплоскости связаны с поверхностными напряжениями интегральным соотношением типа свертки:

$$w_0(x, \tau) = - \int_0^\tau \int_{-\infty}^\infty G_f(x - \xi, \tau - t) \sigma(\xi, t) d\xi dt. \tag{2.1}$$

Здесь  $w_0(x, \tau) = w(x, 0, \tau)$ ,  $\sigma(x, \tau) = \sigma_{33}(x, 0, \tau)$ , а ядро  $G_f(x, \tau)$  является поверхностной функцией влияния для упругой однородной изотропной полуплоскости и представляет собой нормальные перемещения границы полуплоскости как решение задачи (1.6) - (1.8) со следующими граничными условиями:

$$\begin{aligned}
\sigma_{13}|_{z=0} &= 0, \quad \sigma_{33}|_{z=0} = \delta(x)\delta(\tau), \\
\varphi &= O(1), \quad \psi = O(1), \quad \text{при } r \rightarrow \infty.
\end{aligned}$$

Эта функция найдена в [3] и имеет вид:

$$G_f(x, \tau) = \sum_{l=1}^2 G_{fl}(x, \tau) H(\tau - \eta_l |x|),$$

$$G_{f1}(x, \tau) = \frac{1}{\pi\eta^4} g_1(x^2, \tau^2) k_1(x^2, \tau^2), G_{f2}(x, \tau) = \frac{1}{\pi\eta^4} g_2(x^2, \tau^2) k_2(x^2, \tau^2),$$

$$g_1(x, \tau) = \frac{\tilde{g}_1(x, \tau)}{P_3(x, \tau)}, g_2(x, \tau) = \frac{\tilde{g}_2(x, \tau)}{P_3(x, \tau)},$$

$$\tilde{g}_1(x, \tau) = (\eta^2 x - 2\tau)^2, \tilde{g}_2(x, \tau) = 4\tau(\tau - x),$$

$$k_1(x, \tau) = \sqrt{\tau - x}, k_2(x, \tau) = \sqrt{\tau - \eta^2 x},$$

$$P_3(x, \tau) = P_1(x, \tau)P_2(x, \tau), P_1(x, \tau) = x - c_R^2\tau, P_2(x, \tau) = x^2 - 2\alpha^2 x\tau + \beta^2\tau^2,$$

$$\alpha^2 = \frac{4}{\eta^2} - \frac{c_R^2}{2}, \beta^2 = \frac{16(\eta^2 - 1)}{\eta^8 c_R^2}, \eta_1 = 1, \eta_2 = \eta.$$

Отметим, что многочлен  $P_2(z, 1)$  не имеет действительных корней, т.к.  $\alpha^4 - \beta^2 < 0$  [4,5].

Функции  $g_l(x, \tau)$  ( $l=1,2$ ) представим в виде суммы регулярного  $g_{lr}(x, \tau)$  и сингулярного  $g_{ls}(x, \tau)$  слагаемых:

$$g_l(x, \tau) = g_{ls}(x, \tau) + g_{lr}(x, \tau),$$

$$g_{ls}(x, \tau) = \frac{A_l}{P_1(x, \tau)}, g_{lr}(x, \tau) = \frac{B_l x + C_l \tau}{P_2(x, \tau)},$$

$$A_l = \frac{\tilde{g}_l(c_R^2, 1)}{P_2(c_R^2, 1)}, B_1 = \eta^4 - A_1, B_2 = -A_2, C_l = \frac{A_l \beta^2 - 4}{c_R^2}.$$

Тогда функции  $G_{fl}$  записываются так:

$$\begin{aligned}
G_{fl}(x, \tau) &= G_{sl}(x, \tau) + G_{rl}(x, \tau), \\
G_{sl}(x, \tau) &= \frac{1}{\pi\eta^4} g_{sl}(x^2, \tau^2) k_l(x^2, \tau^2), \\
G_{rl}(x, \tau) &= \frac{1}{\pi\eta^4} g_{rl}(x^2, \tau^2) k_l(x^2, \tau^2).
\end{aligned} \tag{2.2}$$

С учетом граничных условий (1.4) и свойств дельта-функции [1] представление (2.1) принимает вид:

$$w_0(x, \tau) = -\sum_{l=1}^2 w_l(x, \tau). \tag{2.3}$$

$$w_l(x, \tau) = \int_0^\tau G_{fl}[x - f(t), \tau - t] H(\tau - t - \eta_l |x - f(t)|) dt$$

В соответствии со структурой (2.2) функции  $G_{fl}$  для дальнейшего исследования нам понадобятся значения интеграла вида

$$I(a) = \int_{y_1}^{y_2} \frac{\sqrt{1-y^2}}{y-a} dy, \quad y_1, y_2 \in [-1, 1]. \tag{2.4}$$

При этом параметр  $a$  может быть как действительным  $a \in R$ , так и комплексным  $a \in C$ . В случае  $a \in R$  возможны варианты:  $a \notin [y_1, y_2]$ ,  $a \in (y_1, y_2)$ . В последнем случае интеграл (2.4) – сингулярный и понимается в смысле главного значения по Коши.

### 3. Свойства интеграла $I(a)$

При  $a \in R$ ,  $a \notin [y_1, y_2]$  его подынтегральная является непрерывной действительной, следовательно, для (2.4) применима формула Ньютона-Лейбница:

$$I(a) = J(y_2; a) - J(y_1; a), \quad (3.1)$$

где

$$J(y; a) = \begin{cases} \sqrt{1-y^2} + a \arcsin(y) + \sqrt{1-a^2} \ln|F_1(a, y)| & \text{при } a < 1; \\ \sqrt{1-y^2} + a \arcsin(y) + 2\sqrt{a^2-1} \operatorname{arctg}(F_2(a, y)) & \text{при } a > 1; \\ F_3(a, y) - 2\operatorname{arctg}(F_3(a, y)) & \text{при } a = 1. \end{cases}$$

$$F_1(a, y) = \frac{\sqrt{1-a}\sqrt{1+y} - \sqrt{1+a}\sqrt{1-y}}{\sqrt{1-a}\sqrt{1+y} + \sqrt{1+a}\sqrt{1-y}}, F_2(a, y) = \frac{\sqrt{a-1}\sqrt{1+y}}{\sqrt{a+1}\sqrt{1-y}}, F_3(a, y) = \frac{\sqrt{1+y}}{\sqrt{1-y}}$$

При  $a \in C$  имеет место равенство:

$$I(a) = J_c(y_2, a) - J_c(y_1, a), \quad (3.2)$$

где

$$J_c(y; a) = \sqrt{1-y^2} + a \arcsin y + \sqrt{1-a^2} \ln(F_1(a, y)).$$

Здесь под  $\ln z$  понимается главная ветвь комплексного логарифма.

При  $a \in R$ ,  $a \in (y_1, y_2)$  интеграл сингулярный.

**Утверждение 1.** Главное значение интеграла (2.4) определяется формулой (3.1).

**Доказательство.**

При  $y_1 < a < y_2$

$$\begin{aligned} I(a) &= \int_{y_1}^{y_2} \frac{\sqrt{1-y^2}}{y-a} dy = \int_{y_1}^{y_2} \frac{\sqrt{1-y^2} - \sqrt{1-a^2}}{y-a} dy + \sqrt{1-a^2} \int_{y_1}^{y_2} \frac{dy}{y-a} = \\ &= \left[ J(y; a) - \sqrt{1-a^2} \ln|y-a| \right]_{y_1}^{y_2} + \sqrt{1-a^2} \ln \frac{y_2-a}{a-y_1} = J(y_2; a) - J(y_1; a). \end{aligned}$$

Что и требовалось доказать. ■



Отметим, что утверждение 1 дает основание проводить вычисление регулярных и сингулярных интегралов с помощью одних и тех же формул (3.1).

**Утверждение 2.** Пусть  $a \in R$ . Тогда при  $a \rightarrow y_2 \pm 0$  интеграл (2.4) стремится к  $+\infty$  по логарифмическому закону, а при  $a \rightarrow y_1 \pm 0$  он стремится к  $-\infty$  по логарифмическому закону.

**Доказательство.** Пусть  $a = y_2 \pm \varepsilon$ , где  $\varepsilon > 0$  - малый параметр, тогда учитывая утверждение 1 и используя формулы (3.1) получаем:

$$\lim_{\varepsilon \rightarrow 0} [J(y_2; y_2 \pm \varepsilon) - J(y_1; y_2 \pm \varepsilon)] = C_{21} + \frac{1}{\sqrt{1-y_2^2}} \lim_{\varepsilon \rightarrow 0} \ln [C_{22} f(\varepsilon, y_2)],$$

где

$$C_{21} = \sqrt{1-y_2^2} - \sqrt{1-y_1^2} + y_2 (\arcsin y_2 - \arcsin y_1),$$

$$C_{22} = \frac{1}{2\sqrt{1-y_2^2}} \left| \frac{\sqrt{1-y_2}\sqrt{1+y_1} + \sqrt{1+y_2}\sqrt{1-y_1}}{\sqrt{1-y_2}\sqrt{1+y_1} - \sqrt{1+y_2}\sqrt{1-y_1}} \right|,$$

$$f(\varepsilon, y_2) = \left| \sqrt{1-(y_2 \pm \varepsilon)}\sqrt{1+y_2} - \sqrt{1+(y_2 \pm \varepsilon)}\sqrt{1-y_2} \right|.$$

Определяя асимптотически эквивалентную функцию для  $f(\varepsilon, y_2)$

$$f(\varepsilon, y_2) \sim \frac{\varepsilon}{\sqrt{1-y_2^2}} \quad (\varepsilon \rightarrow 0),$$

получаем асимптотическое выражение для интеграла  $I(a) \sim I_{\varepsilon 2}$  при  $a \rightarrow y_2 \pm 0$ :

$$I_{\varepsilon 2} = C_{21} + \frac{1}{\sqrt{1-y_2^2}} \ln \left( \frac{C_{22}}{\sqrt{1-y_2^2}} \varepsilon \right) \sim \frac{1}{\sqrt{1-y_2^2}} \ln \varepsilon \quad (\varepsilon \rightarrow 0),$$

Аналогично получаем асимптотическое выражение для интеграла  $I(a) \sim I_{\varepsilon 1}$

при  $a \rightarrow y_1 \pm 0$ :

$$I_{\varepsilon 1} = C_{11} - \frac{1}{\sqrt{1-y_1^2}} \ln \left( \frac{C_{12}}{\sqrt{1-y_1^2}} \varepsilon \right) \sim -\frac{1}{\sqrt{1-y_1^2}} \ln \varepsilon \quad (\varepsilon \rightarrow 0).$$

где

$$C_{11} = \sqrt{1-y_2^2} - \sqrt{1-y_1^2} + y_1 (\arcsin y_2 - \arcsin y_1),$$

$$C_{12} = \frac{1}{2\sqrt{1-y_1^2}} \left| \frac{\sqrt{1-y_1}\sqrt{1+y_2} + \sqrt{1+y_1}\sqrt{1-y_2}}{\sqrt{1-y_1}\sqrt{1+y_2} - \sqrt{1+y_1}\sqrt{1-y_2}} \right|. \blacksquare$$

#### 4. Равномерный режим движения нагрузки

Полагаем  $f(\tau) = V\tau$ , где  $V = \text{const}$ . Тогда соотношение (2.3) преобразуется

так:

$$w_l(x, \tau) = w_{sl}(x, \tau) + w_{rl}(x, \tau),$$

$$w_{sl}(x, \tau) = \int_{\tau_{11}}^{\tau_{12}} G_{sl}(x - Vt, \tau - t) dt, \quad w_{rl}(x, \tau) = \int_{\tau_{11}}^{\tau_{12}} G_{rl}(x - Vt, \tau - t) dt. \quad (4.1)$$

Пределы интегрирования  $\tau_{11}$  и  $\tau_{12}$  в (4.1) определяются из решений системы неравенств:

$$0 < t < \tau, \quad \tau - t - \eta_l |x - Vt| > 0 \quad (4.2)$$

при всех возможных значениях параметров  $\tau$ ,  $x$ ,  $\eta_l$ ,  $V$ .

Ее решение удобно получить графоаналитическим способом. При этом рассмотрим 3 характерных режима движения нагрузки: сверхзвуковой  $V > 1$ , трансзвуковой  $1/\eta < V < 1$  и дозвуковой  $V < 1/\eta$ .

Графоаналитический способ решения продемонстрируем на примере сверхзвукового режима движения, рис. 1. Сплошные линии соответствуют прямым

$\xi = \pm \frac{\tau - t}{\eta}$ , штриховые -  $\xi = \pm(\tau - t)$ , а штрихпунктирная -  $\xi = Vt - x$ . Границы  $\tau_{11}$ ,  $\tau_{12}$

области решений неравенств (4.2) являются абсциссами точек пересечения прямой  $\xi = Vt - x$  с границами областей

$$D_l = \left\{ (t, \xi) : 0 < t < \tau, -\frac{\tau-t}{\eta_l} < \xi < \frac{\tau-t}{\eta_l} \right\}, l=1,2.$$

Эти области геометрически представляют собой треугольники с вершинами  $(\tau, 0)$ ,  $(0, \pm\tau/\eta_l)$ . Фиксируя определенное значение  $V > 1$  и перемещая прямую  $L: \xi = Vt - x$  в вертикальном направлении параллельно самой себе получаем 6 характерных случаев относительного расположения областей  $D_l$  и прямой  $L$ . На рис. 2 круглыми и квадратными маркерами обозначены точки пересечения прямой  $L$  с границами областей  $D_1$  и  $D_2$  соответственно. Абсциссы точек пересечения  $t = t_{l1}, t_{l2}$  в случае неравенства их нулю определяются из следующих соотношений:

$$Vt - x = \pm \frac{\tau - t}{\eta_l}, \quad \tau > t_{l2} = \frac{\tau + \eta_l x}{V\eta_l + 1} > t_{l1} = \frac{\eta_l x - \tau}{V\eta_l - 1} > 0. \quad (4.3)$$

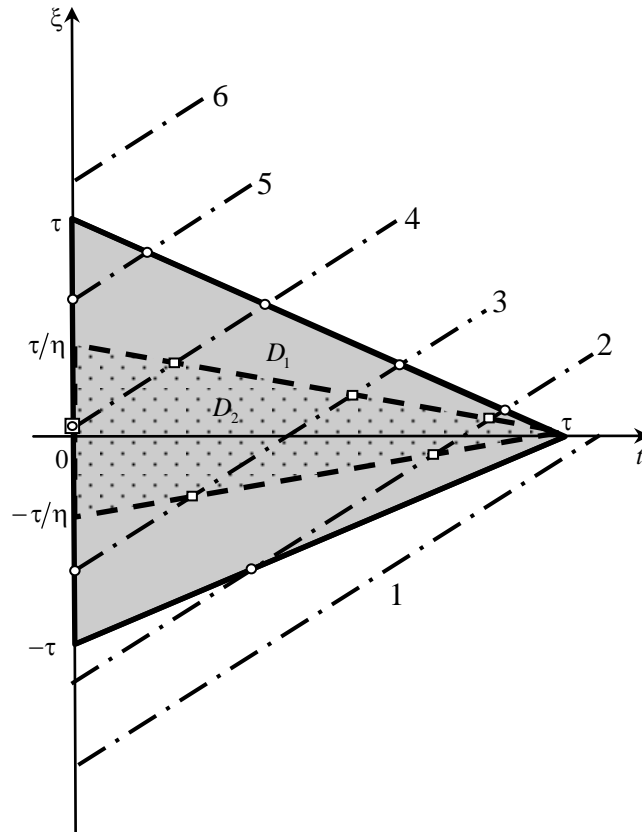


Рис. 1

Аналогично определяются все возможные случаи значения пределов в (4.1) при двух других характерных режимах движения нагрузки. В таблице 1. приведены значения  $\tau_{i1}$  и  $\tau_{i2}$  при всех возможных значениях параметров  $\tau$ ,  $x$ ,  $\eta$ ,  $V$  (знак  $\emptyset$  означает пустое множество).

Таблица 1.

$V$	$x$	$\tau_{11}$	$\tau_{12}$	$\tau_{21}$	$\tau_{22}$
$V > 1$	$x > V\tau$ или $x < -\tau$	$\emptyset$	$\emptyset$	$\emptyset$	$\emptyset$
	$\tau < x < V\tau$	$t_{11}$	$t_{12}$	$t_{21}$	$t_{22}$
	$\tau/\eta < x < \tau$	0	$t_{12}$	$t_{21}$	$t_{22}$
	$ x  < \tau/\eta$	0	$t_{12}$	0	$t_{22}$
	$-\tau < x < -\tau/\eta$	0	$t_{12}$	$\emptyset$	$\emptyset$
$1/\eta < V < 1$	$ x  > \tau$	$\emptyset$	$\emptyset$	$\emptyset$	$\emptyset$
	$V\tau < x < \tau$	0	$t_{11}$	$\emptyset$	$\emptyset$
	$\tau/\eta < x < V\tau$	0	$t_{12}$	$t_{21}$	$t_{22}$
	$ x  < \tau/\eta$	0	$t_{12}$	0	$t_{22}$
	$-\tau < x < -\tau/\eta$	0	$t_{12}$	$\emptyset$	$\emptyset$
$V < 1/\eta$	$ x  > \tau$	$\emptyset$	$\emptyset$	$\emptyset$	$\emptyset$
	$\tau/\eta < x < \tau$	0	$t_{11}$	$\emptyset$	$\emptyset$
	$V\tau < x < \tau/\eta$	0	$t_{11}$	0	$t_{21}$
	$-\tau/\eta < x < V\tau$	0	$t_{12}$	0	$t_{22}$
	$-\tau < x < -\tau/\eta$	0	$t_{12}$	$\emptyset$	$\emptyset$

В случае, когда в таблице 1 значениям пределов интегрирования  $\tau_{i1}$  и  $\tau_{i2}$  соответствуют пустые множества, соответствующее слагаемое в (2.3) равно нулю.

В выражениях (4.1) сделаем замену переменной

$$z = \eta_l \frac{x - Vt}{\tau - t}. \quad (4.4)$$

Тогда приходим к следующим равенствам:

$$w_{sl}(x, \tau) = \frac{1}{\pi \eta_l^4} \sum_{j=1}^3 A_{lj} I_{slj}(x, \tau), \quad (4.5)$$

$$I_{slj}(x, \tau) = \int_{z_{l1}}^{z_{l2}} \frac{\sqrt{1-z^2}}{z - a_{lj}} dz, \quad a_{l1} = \eta_l V, \quad a_{l2} = \eta_l c_R, \quad a_{l3} = -\eta_l c_R,$$

$$A_{l1} = \frac{1}{V^2 - c_R^2}, \quad A_{l2} = \frac{1}{2c_R(c_R^2 - V^2)}, \quad A_{l3} = \frac{1}{2c_R(c_R^2 + V^2)}.$$

При этом все интегралы  $I_{slj}$  ( $j = \overline{1,3}$ ) имеют конечные значения, определяемые формулой (3.1).

Регулярные интегралы в силу непрерывности подынтегральных функций являются непрерывными функциями двух переменных. С учетом замены переменной (4.4) они записываются так:

$$w_{rl}(x, \tau) = \frac{1}{\pi \eta_l^2} \int_{z_{l1}}^{z_{l2}} f_{rl}(z) \sqrt{1-z^2} dz,$$

$$f_{rl}(z) = \frac{1}{z - b_{l1}} \frac{B_l z^2 + \tilde{C}_l}{Q_{l2}(z) Q_{l2}(-z)},$$

где  $b_{l1} = a_{l1} = \eta_l V$ ,  $\tilde{C}_l = C_l \eta_l^2$ ,  $Q_{l2}(z) = z^2 + \gamma_l z + \beta_l$ ,  $\gamma_l = \eta_l \sqrt{2(\alpha^2 + \beta_l)}$ ,  $\beta_l = \eta_l^2 \beta$ ,  $\gamma_l^2 - 4\beta_l < 0$ .

Далее представляем  $Q_{l2}(z)$  и  $Q_{l2}(-z)$  в виде

$$Q_{l2}(z) = (z - c_l)(z - \bar{c}_l), \quad Q_{l2}(-z) = (z + c_l)(z + \bar{c}_l),$$

$$c_l = \frac{1}{2} \left( -\gamma_l + i\sqrt{4\beta_l - \gamma_l^2} \right)$$

Тогда приходим к следующим равенствам:

$$w_{rl}(x, \tau) = \frac{1}{\pi\eta_l^2} \sum_{j=1}^5 B_{lj} I_{rlj}(x, \tau), \quad (4.6)$$

$$I_{rlj}(x, \tau) = \int_{z_{l1}}^{z_{l2}} \frac{\sqrt{1-z^2}}{z - b_{lj}} dz,$$

$$b_{l2} = c_l, \quad b_{l3} = \bar{c}_l, \quad b_{l4} = -c_l, \quad b_{l5} = -\bar{c}_l, \quad B_{lj} = \lim_{z \rightarrow b_{lj}} f_{rl}(b_{lj})(z - b_{lj}).$$

Таким образом, регулярное слагаемое также сводится к вычислению интегралов вида (2.4). При этом  $I_{rl1}$  имеет действительный параметр  $b_{l1}$  и совпадает с интегралом  $I_{sl1}$ . Для его вычисления используется формула (3.1). Остальные интегралы имеют комплексные параметры  $b_{lj}$ ,  $j = \overline{2,5}$  и вычисляются по формуле (3.2).

Пределы интегрирования в (4.5) и (4.6) определяются с учетом (4.4), (4.3) и таблицы 1. Значения пределов при всех скоростных режимах приведены в таблице 2.

Таблица 2.

$V$	$x$	$z_{l1}$	$z_{l2}$	$z_{l21}$	$z_{l22}$
$V > 1$	$x > V\tau$ или $x < -\tau$	$\emptyset$	$\emptyset$	$\emptyset$	$\emptyset$
	$\tau < x < V\tau$	1	-1	1	-1
	$\tau/\eta < x < \tau$	$x/\tau$	-1	1	-1
	$ x  < \tau/\eta$	$x/\tau$	-1	$\eta x/\tau$	-1
	$-\tau < x < -\tau/\eta$	$x/\tau$	-1	$\emptyset$	$\emptyset$

$1/\eta < V < 1$	$ x  > \tau$	$\emptyset$	$\emptyset$	$\emptyset$	$\emptyset$
	$V\tau < x < \tau$	$x/\tau$	1	$\emptyset$	$\emptyset$
	$\tau/\eta < x < V\tau$	$x/\tau$	-1	1	-1
	$ x  < \tau/\eta$	$x/\tau$	-1	$\eta x/\tau$	-1
	$-\tau < x < -\tau/\eta$	$x/\tau$	-1	$\emptyset$	$\emptyset$
$V < 1/\eta$	$ x  > \tau$	$\emptyset$	$\emptyset$	$\emptyset$	$\emptyset$
	$\tau/\eta < x < \tau$	$x/\tau$	1	$\emptyset$	$\emptyset$
	$V\tau < x < \tau/\eta$	$x/\tau$	1	$\eta x/\tau$	1
	$-\tau/\eta < x < V\tau$	$x/\tau$	-1	$\eta x/\tau$	-1
	$-\tau < x < -\tau/\eta$	$x/\tau$	-1	$\emptyset$	$\emptyset$

## 5. Особенности решения

*А. Сверхзвуковой режим.* При  $\tau/\eta < x < V\tau$  все интегралы, входящие в представление нормальных перемещений являются постоянными величинами, следовательно, нормальные перемещения в диапазоне  $\tau < x < V\tau$  не зависят от  $x$  и  $\tau$  (являются постоянной величиной). Это говорит о том, что динамические эффекты в точке границы полуплоскости, по которой в момент времени  $\tau$  «прошла» сосредоточенная сила, перемещающаяся со сверхзвуковой скоростью, начинают проявляться не сразу, а после прохождения периода времени  $\Delta\tau = V - 1$ , что соответствует времени прохождения волной растяжения-сжатия расстояния между ее фронтом и фронтом движения нагрузки.

Исследуем поведение решения при  $x \rightarrow \pm c_R \tau$ . Пусть  $x \rightarrow c_R \tau \pm \varepsilon$ , тогда с помощью утверждения 2 получаем следующий результат:

$$I_{sl2}(x, \tau) = \int_{\eta c_R \pm \varepsilon / \tau}^{-1} \frac{\sqrt{1-z^2}}{z - \eta_l c_R} dz \sim \frac{1}{\sqrt{1 - \eta_l^2 c_R^2}} \ln \varepsilon_1 \quad (\varepsilon_1 = \varepsilon / \tau \rightarrow 0).$$

Аналогично соотношение имеет место при  $x \rightarrow -c_R \tau \pm \varepsilon$ :

$$I_{sl3}(x, \tau) \sim -\frac{1}{\sqrt{1 - \eta_l^2 c_R^2}} \ln \varepsilon_1 \quad (\varepsilon_1 \rightarrow 0).$$

На рис. 2 изображены распределения нормальных перемещений границы полупространства в момент времени  $\tau = 1$  для различных значений скорости движения нагрузки. Красная кривая соответствует значению  $V = 1$ , зеленая -  $V = 1.5$ , синяя -  $V = 2$ . Штриховые вертикальные прямые соответствуют положению фронтов волны Рэлея  $x = \pm c_R \tau$ , а штрихпунктирные - положению фронтов волны сдвига  $x = \pm \tau / \eta$ . Здесь и далее в качестве материала полупространства принята сталь с безразмерными параметром:  $\eta = 1.87$ . При этом скорость волны Рэлея равна  $c_R = 0.496$  [1], а скорость волны сдвига  $1/\eta = 0.535$ .

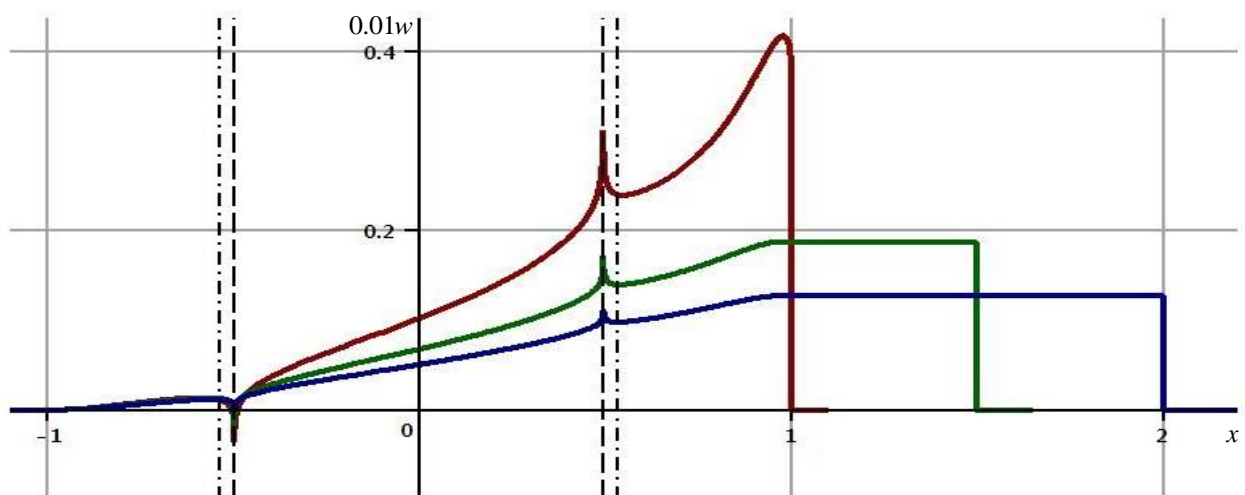


Рис. 2.

На рис. 3 проиллюстрировано поведение решения при  $V = 2$  в окрестности фронтов волн Рэлея.



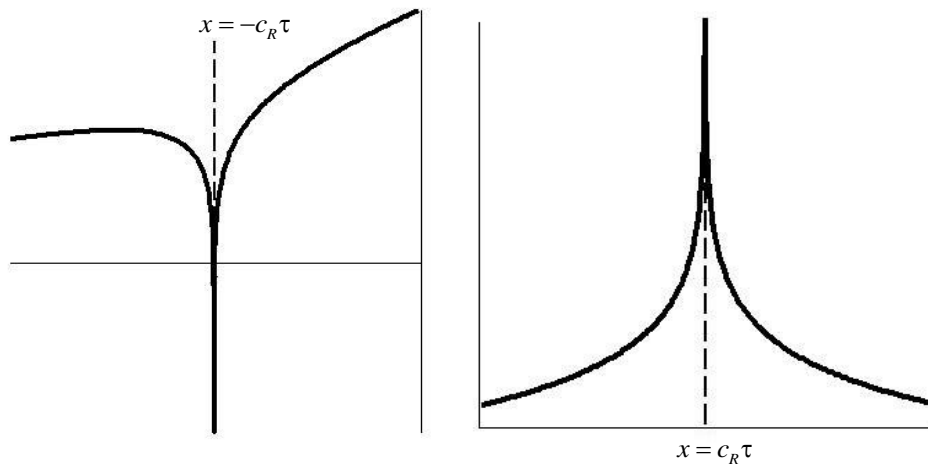


Рис. 3.

*Б. Трансзвуковой режим.* Здесь отметим следующий момент. На рис. 4 изображен график зависимости суммы коэффициентов  $A_{11} + B_{11}$  при заданных свойствах материала (сталь) от скорости движения нагрузки. Вертикальная штрихпунктирная прямая соответствует скорости волны сдвига  $V = 1/\eta$ . Видно, что при  $V = V_0 = 0.567$  сумма коэффициентов равна нулю.

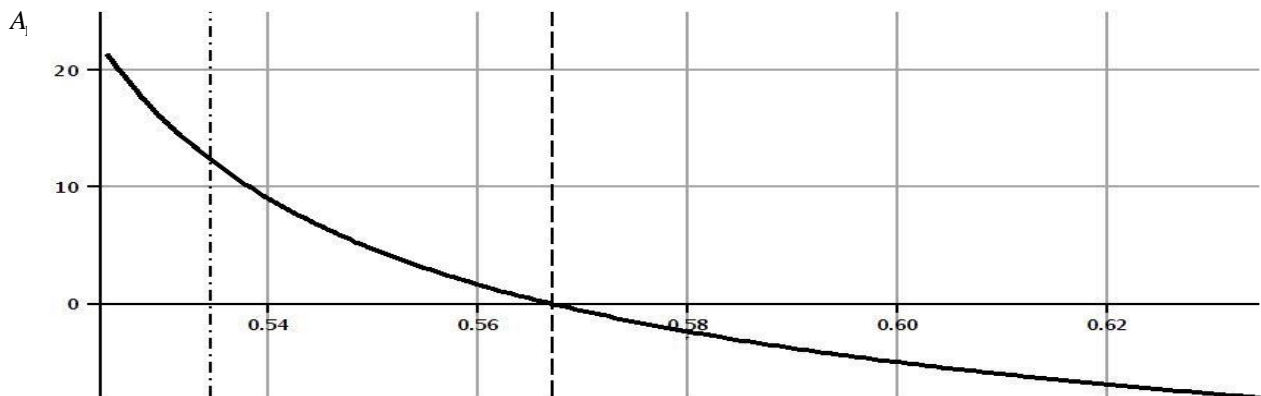


Рис. 4.

Это приводит к следующему выводу. При  $V \neq V_0$  на фронте движения нагрузки при дозвуковом режиме имеется логарифмическая особенность. При этом в случае  $V > V_0$  перемещения в окрестности фронта положительны, а при  $V < V_0$  -

отрицательны. При  $V = V_0$  особенность второго рода на фронте движения нагрузки исчезает, однако при этом на фронте перемещения имеют разрыв первого рода за счет скачкообразного изменения верхнего предела  $z_{12}$  от  $-1$  к  $1$  (см. таблицу 2).

На рис. 5 изображены распределения нормальных перемещений границы полуплоскости в момент времени  $\tau = 1$  для трех характерных значений скорости движения нагрузки.

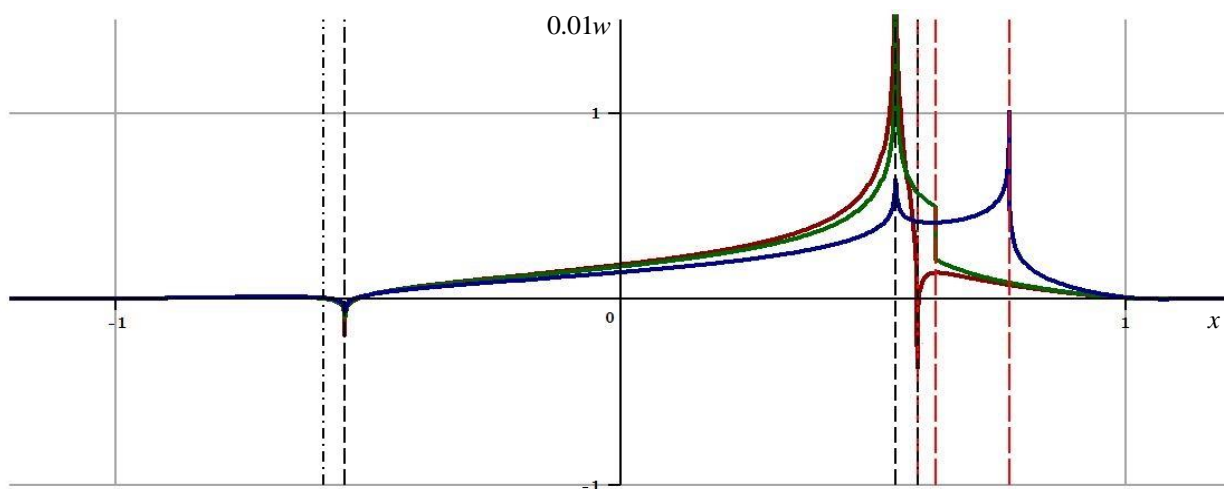


Рис. 5.

Красная кривая соответствует значению  $V = 1/\eta$ , зеленая -  $V = V_0 = 0.567$ , синяя -  $V = 0.7$ . Красная вертикальная штриховая прямая соответствует положению нагрузки.

*В. Дозвуковой режим.* На рис. 6. представлены распределения нормальных перемещений границы полупространства при дозвуковом режиме движения в момент времени  $\tau = 1$ . Красная кривая соответствует значению  $V = 0.2$ , зеленая -  $V = 0.4$ , синяя -  $V = c_R - 0.001$ . Красная вертикальная штриховая прямая соответствует положению нагрузки.

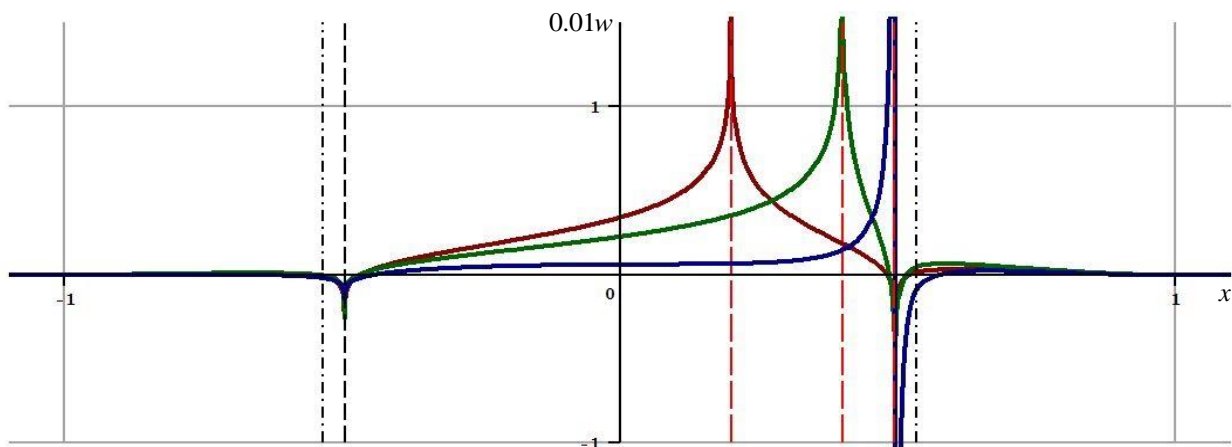


Рис. 6.

*Работа выполнена при финансовой поддержке РФФИ (проект № 13-08-01051) и гранта Президента РФ НШ-2029.2014.8.*

### **Библиографический список**

1. Горшков А.Г., Медведский А.Л., Рабинский Л.Н., Тарлаковский Д.В. Волны в сплошных средах. -М.: Физматлит, 2004. - 472 с.

2. Тарлаковский Д.В., Федотенков Г.В. Пространственное нестационарное движение упругой сферической оболочки // Известия РАН. Механика твердого тела. 2015. № 2. С. 118-128.

3. Горшков А.Г., Тарлаковский Д.В. Динамические контактные задачи с подвижными границами. -М.: Наука. Физматлит, 1995. - 351 с.

4. Медведский А.Л., Тарлаковский Д.В. Плоская нестационарная задача о взаимодействии твердого ударника с несовершенствами и упругого полупространства // Электронный журнал «Труды МАИ», 2011, №48: <https://www.mai.ru/science/trudy/published.php?ID=27499> (дата публикации 22.11.2011).

5. Медведский А.Л., Тарлаковский Д.В. Нестационарный контакт недеформируемого ударника с несовершенствами и упругой полуплоскости на сверхзвуковом участке внедрения // Вестник Московского авиационного института. № 6. 2011. Т. 18. – С. 125–132.